

(11)Publication number:

08-246192

(43)Date of publication of application: 24.09.1996

(51)Int.CI.

C25D 11/26 B01D 53/86 B01D 53/86 B01J 23/40 B01J 23/755 B01J 23/89 CO2F 1/30

(21)Application number: 07-044575

(71)Applicant: KOBE STEEL LTD

TAKENAKA KOMUTEN CO LTD

(22)Date of filing:

03.03.1995

(72)Inventor:

HASHIMOTO KAZUHITO OGAWA TAKATOSHI SAITO TOSHIO SUGIZAKI YASUAKI

ITO YOSHIMASA

**FUJISHIMA AKIRA** 

## (54) OXIDATION-TREATED TITANIUM OR TITANIUM-BASED ALLOY MATERIAL HAVING PHOTOCATALYTIC **ACTIVITY AND ITS PRODUCTION**

(57)Abstract:

PURPOSE: To impart superior photocatalytic activity and to also impart deodorizing, antimold and antifouling properties, sterilizing action, etc., by forming an oxide layer contg. anatase type titanium oxide on the surface of a Ti or Ti-based alloy substrate.

CONSTITUTION: An oxide layer of ≥0.1µm thickness contg. ≥1vol.% anatase type titanium oxide is formed on the surface of a Ti or Ti-based alloy substrate to produce the objective oxidation-treated Ti or Ti-based alloy material having photocatalytic activity.

### **LEGAL STATUS**

[Date of request for examination]

06.10.1999

[Date of sending the examiner's decision of rejection]

[Kind of final disposal of application other than the examiner's decision of rejection or application converted registration]

[Date of final disposal for application]

[Patent number]

3251144

[Date of registration]

16.11.2001

[Number of appeal against examiner's decision of rejection]

[Date of requesting appeal against examiner's decision of

rejection]

[Date of extinction of right]

Copyright (C); 1998,2003 Japan Patent Office



# (12) 公開特許公報(A)

(11)特許出願公開番号

# 特開平8-246192

(43)公開日 平成8年(1996)9月24日

(51) Int.Cl.6		識別記号	庁内整理番号	FΙ				技術表示箇所
C 2 5 D	11/26	302		C 2 5 D	11/26		302	
B01D	53/86			B01J	23/40		ZABA	
		ZAB			23/89		Α	
B 0 1 J	23/40	ZAB		C 0 2 F	1/30			
	23/755			B01D	53/36		н	
			審查請求	未請求 韵	<b>永項の数7</b>	OL	(全 14 頁)	最終頁に続く
(21)出願番	<del></del>	特顏平7-44575		(71)出願	人 00000	1199		
					株式会	社神戸	製鋼所	
(22)出願日		平成7年(1995)3	月3日		兵庫県	神戸市	中央区脇浜町	1丁目3番18号
				(71)出願	人 000000	3621		
特許法第30多	条第1項流	箇用申請有り 平成	6年9月5日		株式会	<b>社竹中</b>	工務店	
社団法人電	気化学協会	会発行の「1994年電台	気化学秋季大会		大阪府	大阪市	中央区本町4	丁目1番13号
髒演要旨集」	に発表			(72)発明	者 藤嶋	昭		
					東京都	<b>『文京区</b>	本郷 7 - 3 -	1 東京大学
					工学部	陈用化	学科内	
				(72)発明	者 橋本	和仁		
					東京都	区京文都	本郷1-3-	1 東京大学
•					工学部	邓広用化	学科内	
				(74)代理	人 弁理士	L 植木	久一	
								最終頁に続く
	·, ., ., .			1				

### (54) 【発明の名称】 光触媒活性を有する酸化処理チタン又はチタン基合金材及びその製法

### (57)【要約】

【構成】 チタンまたはチタン基合金基材の表面に、アナターゼ型酸化チタンを 1 体積%以上含有する厚さ 0.1 μm以上の酸化物層を形成した光触媒活性を有する酸化処理チタン又はチタン基合金材とその製法を開示する。

【効果】 チタンまたはチタン基合金基材の表面にアナターゼ型酸化チタンを含有する酸化物層を形成することによって、優れた光触媒活性を与えることができ、脱臭、防黴、防汚性、殺菌作用等を備えた様々の用途、例えば建築材、空調機器、浄水設備等に用いられる各種部材として有効に活用することができる。

特開平8-246192 7

1

#### 【特許請求の範囲】

【請求項1】 チタンまたはチタン基合金基材の表面 に、アナターゼ型酸化チタンを含有する酸化物層を形成 したものであることを特徴とする光触媒活性を有する酸 化処理チタン又はチタン基合金材。

【請求項2】 チタン基合金基材がα相とβ相の混合組 織からなるものである請求項1に記載の酸化処理チタン 又はチタン基合金材。

【請求項3】 チタン基合金材基材が、5A族元素、6 元素および4 B族元素よりなる群から選択される少なく とも1種の元素を含有するものである請求項1に記載の 酸化処理チタン又はチタン基合金材。

【請求項4】 チタン基合金基材が、チタンとの金属間 化合物を形成する元素の少なくとも1種を含有するもの である請求項1 に記載の酸化処理チタン又はチタン基合 金材.

【請求項5】 チタンまたはチタン基合金基材の表面に 形成された酸化物層の厚さが0.1μm以上であり、該 酸化物層中に含まれるアナターゼ型酸化チタンの含有量 20 が1体積%以上である請求項1~4のいずれかに記載の 酸化処理チタン又はチタン基合金材。

【請求項6】 請求項1~5のいずれかで使用されるチ タン又はチタン基合金基材を陽極酸化した後、酸化性雰 囲気中で加熱処理することにより、前記基材の表面に請 求項1~5のいずれかに記載の酸化物層を形成すること を特徴とする光触媒活性を有する酸化処理チタン又はチ タン基合金材の製法。

【請求項7】 陽極酸化を希薄酸性溶液中、50~15 0 V の電位で行なった後、酸化性雰囲気中300~80 30 0℃の温度で加熱処理する請求項6に記載の製法。

#### 【発明の詳細な説明】

### [0001]

【産業上の利用分野】本発明は、チタンまたはチタン基 合金基材の表面に光触媒活性を付与することによって脱 臭、防黴、防汚性、殺菌作用等を与えた酸化処理チタン 又はチタン基合金材及びその製法に関し、このものは、 防黴、防汚などの効果を有する建築材、空調機器、浄水 設備等に用いられる各種部材として有効に活用すること ができる。

### [0002]

【従来の技術】半導体的特性を有する金属酸化物である 酸化チタン、酸化鉄、酸化タングステン、酸化亜鉛等 は、従来より光触媒活性を示すことが知られており、こ れらの触媒活性を更に高めるため白金族元素等の金属を 担持させる方法も検討されている。これら光触媒活性を 有する物質は、防臭、防黴、防汚、殺菌等の効果を発揮 することが報告されている。特に酸化チタンは、紫外線 領域の特定波長の光を照射することによって優れた光触 によって防臭、防黴、殺菌作用を発揮するので、酸化チ タン微粒子の含有皮膜を殺菌リアクターとして利用した り(金属防黴誌、第13巻第5号211頁、198 5)、酸化チタンを担持した金属や金属酸化物部材を廃 棄物の清浄化に利用する方法 (特公平2-9850号) 等が提案されている。

【0003】この様な酸化チタンの特徴を建築材料、空 調設備、浄化設備等の部材に活かし、それら材料や機器 ・器材の防臭、防黴、殺菌等に応用することも既に試み A族元素、7A族元素、鉄族元素、白金族元素、1B族 10 られており、そのための具体的方法としては、塗膜形成 材中に酸化チタン微粉末を含有せしめ、これを機器・基 材の対応部位にスプレー法、ディップコート法、スピン コート法などによって塗布する方法が提案されている。 【0004】ところがこの様な塗布法では、酸化チタン 微粒子の分散された皮膜を部材表面にコーティング形成 したものであるから、微視的に見ると均一なものとはい えず、光触媒活性の発現効率が悪く、しかも皮膜強度も 不十分であるため剥離し易く、また清掃等で外力を受け たときに皮膜が簡単に損傷するといった障害もあって、 触媒活性の発現性と持続性に問題があり、実用化される までには至っていない。

### [0005]

【発明が解決しようとする課題】本発明は上記の様な事 情に着目してなされたものであって、その目的は、酸化 チタンの有する光触媒作用に由来する前述の如き防臭、 防黴、殺菌等の作用を、より効果的にしかも持続的に発 揮させることのできる技術を確立しようとするものであ る。

# [0006]

40

【課題を解決するための手段】上記課題を解決するとと のできた本発明に係る光触媒活性を有する酸化処理チタ ン又はチタン基合金材の構成は、チタンまたはチタン基 合金基材の表面に、アナターゼ型酸化チタンを含有する 酸化物層を形成したものであるところに要旨を有するも のである。

【0007】上記においては、基材として純チタンを用 いてその表面に上記の様なアナターゼ型酸化チタン含有 酸化物層を形成したもの、および基材としてチタン基合 金を用いてその表面に上記の様なアナターゼ型酸化チタ ン含有酸化物層を形成したものが含まれるが、後者のチ タン基合金を基材として使用するときの好ましいチタン 基合金としては、

Φα相とβ相の混合組織からなるチタン基合金、

②5 A族元素、6 A族元素、7 A族元素、鉄族元素、白 金族元素、1 B族元素および4 B族元素よりなる群から 選択される少なくとも1種の元素を含有するチタン基合 金、

③チタンとの金属間化合物を形成する元素の少なくとも 1種を含有するチタン基合金を挙げることができ、これ 媒活性を示し、該光触媒作用に由来する強力な酸化反応 50 らのチタン基合金を使用すると、得られる酸化処理チタ

ン基合金材の光触媒活性の発現性および持続性を一層優れたものとすることができるので好ましい。

【0008】また、チタン又はチタン基合金基材表面に 形成される前記酸化物層の厚さは0.1 $\mu$ m以上、より 好ましくは0.5 $\mu$ m以上とし、該酸化物層中に含まれ るアナターゼ型酸化チタンの含有量は1体積%以上、よ り好ましくは10体積%以上とすることによって、その 光触媒活性を一層確実に発揮させることができる。

【0009】また、上記の様な光触媒活性を有する酸化処理チタン又はチタン基合金材は、基材となるチタン又 10はチタン基合金を陽極酸化した後、酸化性雰囲気中で加熱処理して表面に酸化物層を形成することにより得ることができ、このときの陽極酸化は、希薄酸性溶液中、50~150V、より好ましくは70~110Vの電位で行なうのがよく、また該陽極酸化後に行なわれる加熱処理は、酸化性雰囲気中300~800℃、より好ましくは400~700℃の温度範囲で行なうことが望ましい。

#### [0010]

【作用】一般に、チタンやチタン基合金は耐食性に優れたものとされており、その理由は、酸化性雰囲気下でその表面に非常に緻密で化学的に安定な酸化チタン皮膜が形成されるためである。そこでこうしたチタンの特性を活用し、チタン又はチタン基合金表面に形成される酸化チタンを利用すれば、該酸化チタンによっても前記酸化チタン微粉末含有皮膜形成による光触媒活性を発揮させることが可能であり、しかもこの様な酸化処理チタンでは、酸化皮膜の基材に対する密着性も良好で、前述の様なコーティング皮膜に指摘される皮膜剥離の問題も解消されるものと考えた。

【0011】しかしながら、大気酸化雰囲気の下で形成される通常の酸化チタン皮膜は、厚みが約0.01μm程度と非常に薄く、しかも必ずしも均一なものではないので、この様な酸化チタン皮膜に前述の如き防臭、防黴、殺菌等に有効な程度の光触媒活性を期待することはできないことが確認された。

【0012】そこで先ず本発明者らは、厚めの酸化チタン層を密着性よくチタン基材表面に形成することを目的として、従来から採用されている陽極酸化法および高温酸化法を採用し、光触媒活性を有する酸化物層をチタン基材表面に形成する方法を試みた。ところが、従来の陽極酸化法や高温酸化法を採用して単に酸化チタン層を厚めに形成しただけでは、基材に対して満足のいく密着性が得られないばかりでなく、優れた光触媒活性も発現されなかった。

【0013】そこで、酸化チタンの均一性や厚み等に加えてその結晶構造までも含めて、光触媒活性能に与える因子を追求したところ、チタン基材表面に形成される酸化物層中にアナターゼ型酸化チタンが含まれるときは、優れた光触媒活性が確実に発揮されることをつきとめ

た。そしてこの様なアナターゼ型酸化チタンは、陽極酸 化と酸化性雰囲気下での加熱処理を組み合わせて実施す ることによって生成することを知った。

【0014】即ち、通常の陽極酸化法や加熱酸化法を単独で採用したときに形成される酸化物層は、非晶質あるいはルチル型酸化チタンからなるものであり、この様な酸化チタンでは満足のいく光触媒活性を示さないが、上記の様に陽極酸化と加熱酸化を組み合わせた酸化処理(以下、複合酸化処理ということがある)を行なうと、酸化物層中にアナターゼ型酸化チタンが生成し、その生成によって光触媒活性が飛躍的に高められることが確認された。そして更に研究を進めた結果、優れた光触媒活性は、上記複合酸化処理によって形成される酸化物層の厚みを好ましくは0.1μm以上、より好ましくは0.5μm以上とすると共に、該酸化物層中に含まれるアナターゼ型酸化チタンの含有量を1体積%以上、より好ましくは10体積%以上にしてやれば、優れた光触媒活性が確実に発揮されることをつきとめた。

【0015】上記では基材として純チタンを使用し、複合酸化処理によってその表面にアナターゼ型酸化チタン含有酸化物層を形成する場合について説明してきたが、基材としてチタン基合金を使用した場合には、合金元素の種類によっても状況が変わってくることが予測される。

【0016】そこで、様々の合金元素を含むチタン基合金について、複合酸化処理によって形成される酸化物層の光触媒活性を調べた。その結果、チタン基合金についてもその表面に形成される酸化物がアナターゼ型酸化チタンを含有するときは、前記純チタン基材を用いた場合と同様に優れた光触媒活性を発揮することが確認された。但し合金元素の種類によっては、複合酸化処理によって形成される酸化物層中へのアナターゼ型酸化チタンの生成状況が着しく変わり、該酸化物層内にアナターゼ型酸化チタンを生成させるには、チタン基合金として、①α相(最密六方格子)とβ相(体心立方格子)の混合組織からなるチタン基合金、

②5 A族元素、6 A族元素、7 A族元素、鉄族元素、白金族元素、1 B族元素および4 B族元素よりなる群から選択される少なくとも1種の元素を含有するチタン基合40 金.

③チタンとの金属間化合物を形成する元素の少なくとも 1種を含有するチタン合金

を選択使用すべきであることを知った。

【0017】即ち、まず上記Φにおいてα相+β相混合組織からなるチタン基合金に複合酸化処理を行なった場合、本発明者らが確認したところによるとβ相の直上部に形成される酸化物層中に多量のアナターゼ型酸化チタンが生成しており、光触媒活性の向上に多大な好影響を及ぼしていることが確認された。従って本発明で用いる50 好ましいチタン基合金としては、例えばMo、Nb、T



(4)

a, V. Ag. Co, Cr, Cu, Fe, Mn, Ni, Pb, Si, Wの様なβ相安定化元素の少なくとも1種 を合金元素として含有し、その組織がα相とβ相の混合 組織からなるチタン基合金が挙げられる。

【0018】尚、ここではチタン基合金組織中に存在す る8相の作用を利用してアナターゼ型酸化チタンの生成 を促進するものであり、その効果を有効に発揮させると とのできるβ相の量は、合金元素の種類や含有量、熱処 理条件等によっても変わってくるが、好ましくはチタン 基合金材の金属組織中に0.1体積%程度以上、より好 10 ましくは1体積%程度以上の8相が含まれるものを選択 することが望ましい。

【0019】但し、本発明で使用されるチタン基合金は 必ずしもα+β混合組織を有するものでなければならな い訳ではなく、例えば上記②で規定する如く5A族元素 (V, Nb, Ta)、6A族元素(Cr. Mo. W)、 7A族元素 (Mn. Re)、鉄族元素 (Fe, Co, N i, )、白金族元素 (Ru, Rh, Pd, Re, Os, Ir, Pt)、1B族元素(Cu, Ag, Au)、4B 族元素(Si, Sn, Pb)よりなる群から選択される 元素の少なくとも1種を含有するチタン基合金について も、これを前述の様な複合酸化処理することによって、 光触媒活性に優れたアナターゼ型酸化チタン含有酸化物 層を形成することができる。

【0020】これら元素の含有によるアナターゼ型酸化 チタン生成促進作用を有効に発揮させるための好ましい 含有量は、チタン基合金材を製造する際の条件、あるい は選択する元素の種類によっても異なるが、標準的な含 有量として示すならば0.01~10重量%、より好ま しくは0.1~5重量%の範囲である。

【0021】更に上記3は、チタン基合金がチタンとの 金属間化合物を形成する元素を含有するものであること を規定するものであり、その様な元素の具体例としては Cr, Mn, Fe, Co, Ni, Cu, Ag, Au, P t 等が例示される。そしてとれらの元素を含むチタン基 合金では、その内部に生成するチタンとの金属間化合物 生成部位の直上部にアナターゼ型酸化チタンが多量生成 しており、該金属酸化物がアナターゼ型酸化チタンの生 成に少なからず影響を及ぼしている、という事実に基づ いて規定したものである。尚、該金属間化合物としては 40 TiM,型,Ti,M型,TiM型,Ti,M型等があ り、それら金属間化合物の生成部位ではいずれもアナタ ーゼ型酸化チタンの生成が促進されるが、中でもアナタ ーゼ型酸化チタンの生成が最も促進されるのはTi<sub>、</sub>M 型の金属間化合物であり、その様な金属間化合物を生成 する元素として特に好ましいのはFe.Co.Ni.C u等である。

【0022】これら元素の含有に伴う金属間化合物の生 成によるアナターゼ型酸化チタン生成促進作用を有効に 発揮させるための好ましい含有重は、チタン基合金材を 50 低過ぎる場合はアモルファス(非晶質)酸化物からアナ

製造する際の条件、あるいは選択する元素の種類によっ ても異なるが、標準的な含有量として示すならば0.0 1~10重量%、より好ましくは0.1~5重量%の範 囲である。

【0023】ところで上記ので選択される元素の中に は、前記のの8相安定化元素と重複する元素も多数見ら れ、また上記3の金属間化合物生成元素と重複する元素 も多数見られるが、それらはいずれも複合酸化処理によ って形成される酸化物層中におけるアナターゼ型酸化チ タンの生成を促進するための要因として、上記Oではチ タン基合金の金属組織面から規定し、上記②では含有す る元素の種類の面から規定し、上記3ではチタンとの金 属間化合物を形成する元素という側面から規定するもの であり、これら①、②、③の何れかに合致するものであ れば、いずれも酸化物層内におけるアナターゼ型酸化チ タンの生成が促進され、それによって光触媒活性の優れ た酸化物層を形成することができるのである。

【0024】上記チタン基合金を基材として使用する場 合であっても、その表面に形成される酸化物層の好適厚 さや該酸化物層中に含まれるアナターゼ型酸化チタンの 好適含有量は、前記純チタン基材を使用する場合と同じ であり、優れた光触媒活性を得るには、酸化物層の厚み を好ましくはO. 1 μ m 以上、より好ましくはO. 5 μ m以上とすると共に、該酸化物層中に含まれるアナター ゼ型酸化チタンの含有量を1体積%以上、より好ましく は10体積%以上にすることが望ましい。酸化物層の厚 さの上限は特に制限されないが、光触媒活性は約100 μmの厚さで飽和し、それ以上に厚くしてもそれ以上の 性能は得られないので、実用性を考えると100μm程 30 度以下、より一般的には10μm以下に抑えるのがよ 41

【0025】そしてこの様な厚さとアナターゼ型酸化チ タン含有量の酸化物層を得るための好ましい方法は、純 チタン基材およびチタン基合金基材の何れについても、 まず陽極酸化を行なった後、酸化性雰囲気中で加熱処理 する方法であり、この方法によれば、陽極酸化及び大気 酸化によって酸化物層の厚さが確保されるばかりか、そ の後の加熱酸化処理によってアナターゼ型酸化チタンの 生成が起こり、光触媒活性に優れた酸化物層を得ること ができる。このときの陽極酸化は、りん酸等の希薄酸性 溶液中、50~150V、より好ましくは70~110 Vの範囲の電位行なうのがよく、また陽極酸化後の加熱 酸化処理は、酸化性雰囲気(通常は大気雰囲気)中30 0~800℃、より好ましくは400~700℃の温度 範囲で行なうことが望ましく、該好適温度域における好 ましい保持時間は5~20分程度である。

【0026】しかして、陽極酸化時の電位が低過ぎる場 合は酸化層の厚さが薄く陽極酸化後の加熱処理でも酸化 皮膜の成長が起とり難くなる。また加熱酸化時の温度が



ターゼ型酸化物への変化が起こらず、逆に高過ぎる場合 は結晶質酸化物として生成されるものがルチル型酸化物 となり、何れの場合も、本発明で意図する様な厚さとア ナターゼ型酸化チタン含有量の酸化物層が得られにくく なるからである。

#### [0027]

【実施例】以下、実施例を挙げて本発明の構成および作 クラ 用効果をより具体的に説明するが、本発明はもとより下 成す 記実施例によって制限を受けるものではなく、前・後記 の趣旨に適合し得る範囲で変更を加えて実施することも 10 る。可能であり、それらはいずれも本発明の技術的範囲に包 こされる。 石芸

### 【0028】実施例1

JIS2種の工業用純チタンを使用し、該純チタン板を 強アルカリ溶液で脱脂した後、フッ酸+硝酸混合液で酸 洗してから十分に水洗し乾燥した。次いで、該純チタン 板を陽極とし、不溶性金属である白金を陰極として0~ 300Vの電位を印加することにより陽極酸化を行な い、表面に陽極酸化皮膜を形成した。次いでこれを大気 雰囲気中100~1000℃の温度で加熱処理した。 【0029】得られた各酸化処理純チタン板について、 その表面に形成された酸化物層の厚みおよびアナターゼ 型酸化チタン含有量をオージェ電子分光法(AES)、 X線光電子分光法(XPS)、ラマン散乱分析法および X線回折法によって求めた。また、それぞれの酸化処理 純チタン板について、下記の方法で光触媒活性度、脱臭 能、抗菌活性を調べると共に、180°曲げ試験によっ て酸化物層の密着性を評価した。尚、光触媒活性試験の 比較材としては、酸化チタン水性ゾルをスピンコート法 によって塗布したチタン板、及び上記酸化処理において 陽極酸化のみ或は大気中加熱酸化処理のみによって酸化 チタン層を形成したものについても同様の評価を行なっ た。

【0030】(光触媒活性度)ヨウ化カリウム水溶液に各酸化処理チタン板を浸漬し、紫外線強度の高いブラックライト(3mw/cm²)を照射することによって生成するヨウ素の生成速度を相対的に評価した。従って、この値が大きいものほど光触媒活性は高いと判断できる。

【0031】(脱臭効果)各酸化処理チタン板を置いた石英管の外側から一定速度の紫外線(ブラックライト:3mw/cm²)を照射しつつ一定流量のアルデヒドを流し、出口部でのアルデヒド残存濃度を測定することによって評価した。従って、この値が小さいものほど光触媒活性が高いと判断できる。

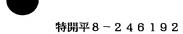
【0032】(抗菌活性)大腸菌を一定濃度で懸濁した 生理食塩水を各酸化処理チタン板の表面に滴下し、紫外 線を1時間照射した後の大腸菌の生存率によって評価し 20 た。従って、この値が小さいものほど光触媒活性が高い と判断できる。

【0033】尚上記各評価に当たっては、酸化処理チタン板が存在しなくとも紫外線照射のみで進行することがあることを考慮し、全ての試料について酸化処理前のチタン板についてもブランクとして同時に実験を行なった。結果を表1,2に示す。

[0034]

【表1】





No.	酸化	UE .	密着性	酸化層	アナターゼ型	ヨウ紫	アルデヒ	大賜館
MG	陽極酸化 電位:V	大気酸化 温度: °C	85-613:	(mm) (mm)	酸化チタン 含有率 (体積%)	生成量相对量	ド残存 濃度 相 対 量	生存率相対量
la	なし	なし	_	0.004	<検出限界	1	100	100
lb	-	-	-	-	-	60	45	32
2	20	なし	Δ	0.025	<枝出限界	0	100	100
3	50	なし	Δ	0.178	<検出限界	5	98	100
4	100	なし	Δ	0.145	<検出限界	8	95	90
5	150	なし	Δ	0.248	<検出限界	5	96	97
6	200	なし	Δ	0.293	<検出限界	8	94	99
7	250	なし	Δ	0.360	<検出限界	7	93	96
8	300	なし	Δ	0.506	<検出限界	Б	97	90
9	なし	100	0	0.005	<検出限界	0	100	100
10	なし	200	0	0.007	<検出限界	0	100	100
11	なし	300	0	0.009	<検出限界	4	99	99
12	なし	400	0	0.011	<検出限界	6	93	98
13	なし	500	0	0.025	<検出限界	4	97	96
14	なし	600	0	0.094	<検出限界	3	98	98
15	なし	700	0	0.12	<検出限界	5	98	95
16	なし	800	0	0.20	<検出限界	5	98	97
17	なし	900	Δ	0.57	<検出限界	6	100	100
18	なし	1000	Δ	1.2	<検出限界	3	98	96
19	20	100	0	0.034	<検出限界	0	100	100
20	20	200	0	0.037	<検出限界	0	100	100
21	20	500	0	0.091	0.3	3	95	91
22	20	700	0	0.230	0.41	0	90	91
23	20	800	0	0.54	0.55	9	90	89
24	20	1000	Δ	1.5	0.86	3	95	96

【表2】

[0035]



12

Re									14
掃極酸化 大気酸化   厚さ		酸化效	理		** //. [7]				大賜菌
電位: V 温度: C	MO.	rmar may 11.	1	出租性			生成豆		王仔华
18   なし   なし   一   0.004   <検出限界   1   100   100     1b   一   一   一   一   一   一   一   一   一									l
1b		超位:V	温度:C		(µm)	(体積%)	相対量	相対量	相対量
25	la	なし	なし		0.004	<検出限界	1	100	100
26       70       20D       O       0.11       1.2       19       79       88         27       70       500       O       0.15       1.9       39       55       63         28       70       700       O       0.23       4.5       38       58       49         29       70       800       O       0.54       5.8       38       54       64         30       70       1000       △       1.9       0.65       18       71       82         31       110       100       △       0.16       0.82       9       80       92         32       110       200       △       0.18       3.4       19       83       73         33       110       500       △       0.23       5.5       55       47       39         34       110       700       △       1.43       11.4       87       33       32         35       110       800       △       2.0       24.3       67       39       52         36       110       1000       △       0.28       0.89       13       85       88 <td>16</td> <td>-</td> <td>-</td> <td>-</td> <td>-</td> <td>_</td> <td>60</td> <td>45</td> <td>32</td>	16	-	-	-	-	_	60	45	32
27    70    500    O				0	0.11	0.77	12	89	81
28	26	70	20D	0	0.11	1.2	19	79	88
29   70   800   ○ 0.54   5.8   38   54   64   30   70   1000   △ 1.9   0.65   18   71   82   31   110   100   ○ 0.16   0.82   9   80   92   32   110   200   ○ 0.18   3.4   19   88   73   33   110   500   ○ 0.23   5.5   55   47   39   34   110   700   ○ 1.43   11.4   87   33   32   35   110   800   ○ 2.0   24.3   67   39   52   36   110   1000   △ 3.1   0.88   69   69   77    37   150   100   ○ 0.28   0.89   13   85   88   38   150   200   ○ 0.30   4.4   21   73   63   39   160   500   ○ 0.72   7.5   87   44   21   40   150   700   ○ 1.9   23.6   69   23   24   41   150   800   ○ 2.1   17.4   74   32   42   42   150   1000   △ 3.2   0.88   34   69   74    43   200   100   ○ 0.30   0.77   7   94   87   44   200   200   ○ 0.34   0.92   14   75   89   45   200   500   ○ 0.88   0.89   15   80   79   47   200   800   ○ 2.1   0.3   9   79   97   47   200   800   ○ 2.9   <	27	70	500	0	0.15	1.9	39	55	63
29	28	70	700	0	0.23	4.5	38	58	49
30   70   1000   △   1.9   0.65   18   71   82	29	70	008	0	0.54	5.8	38	54	
32	30	70	1000	Δ	1.9	0.65	18	71	
33				0	0.16	0.82	9	80	92
34					0.18	3.4	19	88	73
35 110 800 ○ 2.0 24.3 67 39 52 36 110 1000 △ 3.1 0.88 69 69 77  37 150 100 ○ 0.28 0.89 13 85 88 38 150 200 ○ 0.30 4.4 21 73 63 39 160 500 ○ 0.72 7.5 87 44 21 40 150 700 ○ 1.9 23.6 69 23 24 41 150 800 ○ 2.1 17.4 74 32 42 42 150 1000 △ 3.2 0.88 34 69 74  43 200 100 ○ 0.30 0.77 7 94 87 44 200 200 ○ 0.34 0.92 14 75 89 45 200 500 ○ 0.88 0.89 15 80 79 46 200 700 ○ 2.1 0.3 9 79 47 200 800 ○ 2.1 0.3 9 79 48 200 1000 △ 3.5 <	33	110	500	0	0.23	5.5	55	47	39
36	34	110	700	0	1.43	11.4	87	33	32
37 150 100 ○ 0.28 0.89 13 85 88 150 200 ○ 0.30 4.4 21 73 63 39 160 500 ○ 0.72 7.5 87 44 21 40 150 700 ○ 1.9 23.6 69 23 24 41 150 800 ○ 2.1 17.4 74 32 42 42 150 1000 △ 3.2 0.88 34 69 74 43 200 100 ○ 0.30 0.77 7 94 87 44 200 200 ○ 0.34 0.92 14 75 89 45 200 500 ○ 0.88 0.89 15 80 79 47 200 800 ○ 2.1 0.3 9 79 97 47 200 800 ○ 2.9 <†* Children	35	110	800	0	2.0	24.3	67	39	52
38 150 200 0 0.30 4.4 21 73 63 39 150 500 0 0.72 7.5 87 44 21 40 150 700 0 1.9 23.6 69 23 24 41 150 800 0 2.1 17.4 74 32 42 42 150 1000 △ 3.2 0.88 34 69 74  43 200 100 ○ 0.30 0.77 7 7 94 87 44 200 200 ○ 0.34 0.92 14 75 89 45 200 500 ○ 0.88 0.89 15 80 79 46 200 700 ○ 2.1 0.3 9 79 97 47 200 800 ○ 2.1 0.3 9 79 97 48 200 1000 △ 3.5 <	36	110	1000	Δ	3.1	0.88	69	69 .	77
39						0.89	13	85	88
40		,			0.30	4.4	21	73	63
41 150 800 ○ 2.1 17.4 74 32 42 42 150 1000 △ 3.2 0.88 34 69 74  43 200 100 ○ 0.30 0.77 7 94 87 44 200 200 ○ 0.34 0.92 14 75 89 45 200 500 ○ 0.88 0.89 15 80 79 46 200 700 ○ 2.1 0.3 9 79 97 47 200 800 ○ 2.9 <快出限界 10 87 94 48 200 1000 △ 3.5 <快出限界 3 89 92  49 300 100 ○ 0.51 0.65 3 95 87 50 300 200 ○ 0.55 0.88 11 94 97 51 300 500 ○ 0.91 0.34 3 88 90 52 300 700 ○ 2.3 <検出限界 2 93 94 53 300 800 △ 3.6 <検出限界 2 93					0.72	7.5	87	44	21
42   150   1000   △   3.2   0.88   34   69   74     43   200   100   ○   0.30   0.77   7   94   87     44   200   200   ○   0.34   0.92   14   75   89     45   200   500   ○   0.88   0.89   15   80   79     46   200   700   ○   2.1   0.3   9   79   97     47   200   800   ○   2.9   <快出限界   10   87   94     48   200   1000   △   3.5   <快出限界   3   89   92     49   300   100   ○   0.51   0.65   3   95   87     50   300   200   ○   0.55   0.88   11   94   97     51   300   500   ○   0.91   0.34   3   88   90     52   300   700   ○   2.3   <快出限界   2   93   94     53   300   800   △   3.6   <快出限界   3   96   98	40			0		23.6	69	23	24
43   200   100   ○   0.30   0.77   7   94   87     44   200   200   ○   0.34   0.92   14   75   89     45   200   500   ○   0.88   0.89   15   80   79     46   200   700   ○   2.1   0.3   9   79   97     47   200   800   ○   2.9   <快出限界   10   87   94     48   200   1000   △   3.5   <快出限界   3   89   92     49   300   100   ○   0.51   0.65   3   95   87     50   300   200   ○   0.55   0.88   11   94   97     51   300   500   ○   0.91   0.34   3   88   90     52   300   700   ○   2.3   <快出限界   2   93   94     53   300   800   △   3.6   <快出限界   3   96   98			800		2_1	17.4	74	32	42
44     200     200     〇     0.34     0.92     14     75     89       45     200     500     〇     0.88     0.89     15     80     79       46     200     700     〇     2.1     0.3     9     79     97       47     200     800     〇     2.9     <快出限界	42	150	1000	Δ	3.2	0.88	34	69	74
45   200   500   ○   0.88   0.89   15   80   79     46   200   700   ○   2.1   0.3   9   79   97     47   200   800   ○   2.9   <快出限界   10   87   94     48   200   1000   △   3.5   <快出限界   3   89   92     49   300   100   ○   0.51   0.65   3   95   87     50   300   200   ○   0.65   0.88   11   94   97     51   300   500   ○   0.91   0.34   3   88   90     52   300   700   ○   2.3   <快出限界   2   93   94     53   300   800   △   3.6   <快出限界   3   96   98						l .	7		
46   200   700   ○   2.1   0.3   9   79   97   47   200   800   ○   2.9   <快出限界   10   87   94   48   200   1000   △   3.5   <快出限界   3   89   92     49   300   100   ○   0.51   0.65   3   95   87   50   300   200   ○   0.65   0.88   11   94   97   97   97   97   97   97   97				0					89
47     200     800     〇     2.9     <検出限界						1	15		
48   200   1000   △   3.5   <検出限界   3   89   92   92   93   94   94   95   95   95   95   95   95	1						_	79	97
49 300 100 ○ 0.51 0.65 3 95 87 50 300 200 ○ 0.55 0.88 11 94 97 51 300 500 ○ 0.91 0.34 3 88 90 52 300 700 ○ 2.3 <検出限界 2 93 94 53 300 800 △ 3.6 <検出限界 3 96 98		P .					10	87	94
50     300     200     〇     0.55     0.88     11     94     97       51     300     500     〇     0.91     0.34     3     88     90       52     300     700     〇     2.3     <検出限界	48	200	1000	Δ	3.5	<検出限界	3	89	92
51     300     500     〇     0.91     0.34     3     88     90       52     300     700     〇     2.3     <検出限界		1	1		4			95	87
52     300     700     O     2.3     <検出限界	1		1	_	1	1	1	94	97
53 300 800 △ 3.6 <検出限界 3 96 98		t .			0.91	0.34	3	88	90
1 1 1 1 1 1 1 1 1 1 1 1 1 1 1 1 1 1 1 1	52	)	700	0	2.3	<検出限界	2	93	94
1541 200 1 1000 1 0 1 42 1 240 1000 00 0 0 0 0 0 0 0	53	300	800	Δ	3.6	<検出限界	3	96	98
300 1000 公 4.3 <模出限外 7 95 95	54	300	1000	Δ	4.3	<検出限界	7	95	95

【0036】上記表1、2からも明らかである様に、酸化物層中に有効量のアナターゼ型酸化チタンの存在が認められるものは、アナターゼ型酸化チタンの存在が実質的に認められないもの(No.2~20、47、48、52~54)に比べて光触媒活性が格段に優れており、ヨウ素生成量、アルデヒド残存濃度、大腸菌生存率のいずれにおいても良好な結果を示している。また、酸化物層中に有効量のアナターゼ型酸化チタンを生成させるには、酸化処理法として陽極酸化と大気酸化を組み合わせて実施することが必要であり、それらを夫々単独で実施したとしても、有効量のアナターゼ型酸化チタンを生成させることはできない(No.2~18)。

【0037】また、アナターゼ型酸化チタンの存在が認められるものの中でも、酸化物層の厚さが $0.1\mu$ m以上で且つ該酸化物層中に含まれるアナターゼ型酸化チタンの含有量が1体積%以上であるもの(No.26~29,32~35,38~41)では、それら酸化物層厚さとアナターゼ型酸化チタン含有量の一方若しくは双方が不足気味であるもの(No.21~24,30,31,36,37,42~46,49~51)に比べて、

明らかに優れた光触媒活性を有していることが分かる。 そして、該表1,2の結果より、優れた光触媒活性を得るための酸化条件としては、陽極酸化電位を50~150Vの範囲に設定すると共に、加熱酸化処理を300~800℃の温度範囲で行なえばよいことが分かる。 【0038】実施例2

陽極酸化電位を10~300V、加熱酸化温度を100~1000°Cの範囲で更に細かく変更し、以下は上記実施例1と同様にして酸化処理を行ない、生成する酸化物個の厚さと密着性、酸化物層中のアナターゼ型酸化チタンの含有量を測定すると共に、夫々について光触媒活性を調べた。結果は表3~8に示す通りであり、上記実施例で得られたのと同様に、①アナターゼ型酸化チタンの存在する酸化物層を形成するには、陽極酸化と加熱酸化を組み合わせて実施することが不可決であること、②満足のいく光触媒活性を得るには、酸化物層の厚さを0.1µm以上にすると共に、該酸化物層中に含まれるアナターゼ型酸化チタンの含有量を1体積%以上にするのがよいこと、③この様なアナーゼ型酸化チタン含有酸化物

(8)

特開平8-246192

14

13 囲に設定すると共に加熱酸化処理を300~800℃の \* [0039] 温度範囲で行なうことが望ましいこと、を確認すること

【表3】

ができる。

No.	酸化如	<b>心</b> 理	密着性	酸化层	アナターゼ型	ヨウ紫	アルデヒ	大腸菌
Mu	陽極酸化 電位:V	大気酸化 温度:℃	四個注	既 12 /B ( pz さ ( μm )	酸化チタン 含有串 (体積%)	生成量相対量	ド残存 混度 相 対 量	生存率相対量
18	なし	なし	1	0.004	<検出限界	1	100	100
lb	-	-	-	-	_	60	45	32
55	10	なし	Δ	0.013	<検出限界	0	100	100
56	20	なし	Δ	0.025	<検出限界	0	100	100
57	30	なし	Δ	0.041	<検出限界	0	100	99
58	40	なし	Δ	0.049	<検出限界	0	100	98
59	50	なし	Δ	0.078	<検出限界	6	98	100
60	60	なし	Δ	0.085	<検出限界	5	99	100
61	90	なし	Δ	0.113	<検出限界	7	100	96
62	100	なし	Δ	0.145	<検出限界	8	95	99
63	120	なし	Δ	0. 151	<検出限界	7	98.	98
64	130	なし	Δ	0. 189	<検出限界	6	98	96 .
65	150	なし	Δ	0.248	<検出限界	5	96	97
66	170	なし	Δ	0.273	<検出限界	6	100	97
67	200	なし	Δ	0.293	<検出限界	8	94	99
68	230	なし	Δ	0.335	<検出限界	9	92	97
69	250	なし	Δ	0.360	<検出限界	7	93	96
70	270	なし	Δ	0.410	<検出限界	5	99	100
71	300	なし		0.506	<検出限界	6	97	99

[0040]

【表4】

16

No.	酸化效	理	COTTON BALL	Web Ale DER	アナターゼ型	ヨウ素	アルデヒ	大腸菌
RO.	陽極酸化 電位:V	大気酸化 温度:℃	密着性	酸 化 層 厚さ (μm)	酸化チタン 含有率 (体積%)	生成量相対量	ド残存 濃度 相対量	生存率相対量
la	なし	なし	1	0.004	<検出限界	1	100	100
1ь	-	-	-	1	-	60	45	32
72 73	なし なし	100 150	0	0.005 0.005	<検出限界 <検出限界	0	100 100	100 99
74	なし	200	0	0.007	<検出限界	0	100	100
75	なし	230	0	0.007	<検出限界	0	93	100
76	なし	250	0	0.008	<檢出限界	6	100	99
77	なし	280	0	0.008	<検出限界	4	96	97
78	なし	300	0	0.009	<検出限界	4	99	99
79	なし	350	0	0.010	<検出限界	5	97	92
80	なし	400	0	0.011	<検出限界	6	93	98
81	なし	450	0	0.015	<検出限界	2	92	97 ·
82	なし	480	0	0.019	<検出限界	3	89	90
83	なし	500	0	0.025	<検出限界	4	97	96
84	なし	520	0	0.054	<検出限界	3	96	96
85	なし	580	0	0.094	<検出限界	3	98	98
86	なし	740	0	0.12	<検出限界	5	98	95
87	なし	800	0	0.20	<検出限界	5	98	97
88	なし	830	0	0.31	<検出限界	6	98	94
89	なし	850	Δ .	0.42	<検出限界	8	97	95
90	なし	900	Δ	0.57	<検出限界	6	100	99
97	なし	930	Δ	0.88	<検出限界	9	96	99
92	なし	1000	Δ	1.2	<検出限界	3	98	96

[0041]

\* \*【表5】

No.	酸化如	<b>心理</b>	密着性	酸化層	アナターゼ型	ヨウ素	アルデヒ	大腸菌
NO.	陽極酸化 電位:V	大気酸化 温度:℃	西福生	既 16 増 厚さ (μm)	酸化チタン 含有率 (体積%)	生成量相対量	ド残存 濃度 相対量	生存率 相対量
la	なし	なし		0.004	<検出限界	1	100	100
lb		-	_	1	-	60	45	32
93	10	200	0	0.034	<検出限界	0	100	100
94	20	200	0	0.034	<検出限界	0	100	98
95	30	200	0	0.043	<検出限界	9	100	87
96	40	200	0	0.063	<検出限界	11	99	88
97	50	200	0	0.089	0.69	14	100	90
98	60	200	0	0.11	0.77	12	97	86
99	90	200	0	0.15	0.83	9	99	87
100	100	200	0	0.16	0.82	10	93	94
101	120	200	0	0.18	0.85	10	99	96
102	130	200	0	0.21	0.83	9	96	93
103	150	200	0	0.28	0.89	8	94	90
104	170	200	0	0.28	0.79	2	94	97
105	200	200	0	0.30	0.77	13	93	94
106	230	200	0	0.37	0.71	8	98	89
107	250	200	0	0.45	0.80	9	93	89
108	270	200	0	0.47	0.70	10	94	90
109	300	200	0	0.51	0.65	8	95	98

[0042]

50 【表6】

No.	酸化的	<b>心理</b>	密着性	酸化層	アナターゼ型酸化チタン	ヨウ素	アルデヒ	大脳菌
110.	陽極酸化 電位:V	大気酸化 温度:℃	#4II	既 16 心 厚さ (μm)	会有率(体積%)	相対量	ド残存 濃度 相 対 量	生存率相対量
la	なし	なし	-	0.004	<検出限界	1	100	100
1b	_	-	-	-	-	60	45	32
110	10	350	0	0.030	<検出限界	0	99	98
111	20	350	0	D. 037	0.3	0	100	98
112	30	350	0	0.059	0.41	9	100	86
113	40	350	0	0.058	0.77	11	90	87
114	50	350	0	0.10	1.2	34	75	68
115	60	350	0	0.11	1.2	32	68	45
116	90	350	0	0.15	2.1	54	53	34
117	100	350	0	0.18	3.4	61	34	12
118	120	350	0	0.24	3. 5	76	36	9
119	130	350	0	0.28	3.9	68	29	11
120	150	350	0	0.30	4.4	83	69	39
121	170	350	0	0.33	2.3	21	80	73
122	200	350	0	0.34	1.5	13	94	75
123	230	350	0	0.38	0.92	8	100	89
124	250	350	0	0.45	0.91	9	98	80
125	270	350	0	0.53	0.91	10	96	89
126	300	350	0	0.55	0.88	8	98	88

[0043]

\* \*【表7】

No.	酸化效	理	密費性	酸化層	アナターゼ型	ヨウ素	アルデヒ	大腸菌
140.	陽極酸化 電位:V	大気酸化 温度:℃	ES HOLL	既 1C 暦 厚さ (μm)	酸化チタン 含有率 (体積%)	生成量相対量	ド残存 満度 相対量	生存率 相対量
la	なし	なし	+	0.004	<検出限界	l	100	100
lb	-	-	-	-	_	60	45	32
127	10	700	0	0.21	0.33	0	91	96
128	20	<b>70</b> 0	0	D. 23	0.41	0	90	91
129	30	700	0	0.21	0.65	9	81	71
130	40	700	0	0.22	0.93	19	73	70
131	50	700	0	0.22	3.6	54	43	58
132	60	700	0	0.23	4.5	62	44	32
133	90	700	0	0.81	7.3	76	32	5
134	100	700	0	1.2	9.5	79	10	10
135	120	700	0	1.4	11.4	86	9	3
136	130	700	0	1.6	15.4	43	10	23
137	150	700	0	1.9	23.6	30	48	31
138	170	700	0	1.9	0.94	12	79	76
139	200	700	0	2.1	0.3	9	77	70
140	230	700	0	2.2	0.15	9	89	79
141	250	700	0	2.2	0.11	10	100	78
142	270	700	0	2.1	0.33	10	86	75
143	300	700	0	2.3	<検出限界	3	91	91

[0044]

【表8】

No.	酸化效	<b>证</b> 里	CONTRACT SALE	■● // - 庁で	アナターゼ型	ヨウ索	アルデヒ	大陽菌
NO.	陽極酸化 電位:V	大気酸化 温度: °C	密着性	酸化層 厚さ (μm)	酸化チタン 含有率 (体積%)	生成量相対量	ド残存 濃度 相 対 量	生存率相対量
la	なし	なし	-	0.004	<検出限界	1	100	100
lb	1	1	-		_	60	45	32
144	10	900	٥	1.5	0.80	10	98	80
145	20	900	Δ	1.5	0.86	9	90	89
146	30	900	Δ	1.6	0.73	13	97	97
147	40	900	Δ	1.7	0.71	3	99	98
148	50	900	Δ	1.7	0.69	5	86	86
149	60	900	Δ	1.9	0.65	4	88	87
150	90	900	Δ	2.2	0.69	4	81	90
151	100	900	Δ	2.8	0.75	6	94	97
152	120	900	Δ	3.1	0.88	11	80	100
153	130	900	Δ	3.1	0.81	3	97	89
154	150	900	Δ	3.2	0.88	9	96	88
155	170	900	Δ	3.5	0.84	8	100	89
156	200	900	Δ	3,5	<検出限界	7	98	96
157	230	900	Δ	3.7	<検出限界	9	99	93
158	250	900	Δ	3.9	<検出限界	4	100	93
159	270	900	Δ	3.9	<検出限界	5	96	95
160	300	900	Δ	4.3	<検出限界	5	100	98

### 【0045】実施例3

様々のチタン基合金について、上記実施例1,2と同様 の酸化処理による光触媒活性能の良否を確認するため、 種々の合金元素を所定含有量となる様にスポンジチタン と共にアルゴンガスを満たした非消耗電極型アーク溶解 炉で溶解し、鋳造、800℃での熱間鍛造、ショット酸 洗、真空焼鈍、冷間圧延を順次行なった後、前記実施例 1と同様にして強アルカリ溶液による脱脂、フッ酸+硝 30 コート法によって塗布したチタン板、及び上記酸化処理 酸混合液による酸洗、水洗、乾燥を行ない、次いで、各 チタン基合金板を陽極とし、不溶性金属である白金を陰 極として70Vの電位を印加することによって陽極酸化 を行ない、表面に陽極酸化皮膜を形成した。次いでこれ を大気雰囲気中350℃の温度で加熱処理した。

【0046】得られた各酸化処理チタン基合金板につい

て、その表面に形成された酸化物層の厚みおよびアナタ ーゼ型酸化チタン含有量をオージェ電子分光法 (AE S)、X線光電子分光法(XPS)、ラマン散乱分析法 およびX線回折法によって求めた。また、それぞれの酸 化処理チタン基合金板について、前記と同様の方法で光 触媒活性度、脱臭能、抗菌活性を調べた。尚、光触媒活 性試験の比較材としては、酸化チタン水性ゾルをスピン を全く行なっておらない純チタン板(JIS 2種)に ついても同様の評価を行なった。結果を、用いた各チタ ン基合金板の金属組織などと共に表9,10に示す。

[0047]

【表9】

No.	合金組成	酸化如		組織	酸化物層	アナターゼ型 酸 化 チ タ ン	ョゥ素 生成量	アルデヒ ド残在	大陽菌 生存率
		陽極酸化 電位:V	大気酸化 温度: C		厚さ (μm)	含有率 (体積%)	相対量	造度 相 対 量	相対量
1a	純チタン	なし	なし	α	0.004	<検出限界	1	100	100
1b	スピンコート材	-	1	_	_	-	60	45	32
2 3 4 5 6 7	Ti-O.5A1 Ti- 5A1 Ti-O.5Zr Ti- 5Zr Ti-O.5Hr Ti- 5Hr	7 0 7 0 7 0 7 0 7 0 7 0	350 350 350 350 350 350	a a a a a	0.13 0.12 0.12 0.09 0.07 0.08	界界界界界界 保険機械機械 機械機械機械 大くくくくく	3 2 5 7 7 6	96 95 89 93 87	95 100 89 96 98
8 9 10 11 12 13	Ti-0.5V Ti- 5V Ti-0.5Nb Ti- 5Nb Ti-0.5Ta Ti- 5Ta	7 0 7 0 7 0 7 0 7 0 7 0	350 350 350 350 350 350	α α+β α+β α+β	0.14 0.17 0.14 0.23 0.15 0.19	< 検4 4 4 4 5 1 1 1 1 1 1 1 1 1 1 1 1 1 1 1	23 8 19 4	86 67 81 63 93	88 45 83 55 81 58
14 15 16 17 18 19 20 21 22 23	Ti-0.5Cr Ti-5Cr Ti-0.5Mn Ti-5Mn Ti-0.5Fe Ti-5Fe Ti-0.5Co Ti-5Co Ti-5Co Ti-5Ni	77777777777777777777777777777777777777	350 350 350 350 350 350 350 350 350	аса са	0.18 0.19 0.24 0.20 0.23 0.24 0.41 0.35 0.45	2679704831  866785569	3556925373 3573573	551 643 433 481 664 226	45 41 53 58 37 30 70 59 33 27

Ma: TiM型金属間化合物、Ma: Tim型金属間化合物 Ma: TiM型金属間化合物、Ma: Tim型金属間化合物

### [0048]

### \* \*【表10】

						- · · -			
No.	合金組成	酸化如	0.理	組織	5 to / L 64- 1511	アナターゼ型	ヨウ素	アルデヒ	大腸菌 生存率
,,,,,	日亚和政	陽極酸化 電位:V	大気酸化 温度: C	152.744	酸化物層 厚さ (μm)	・ 酸化チタン 含有率 (体積%)	生成量相対量	ド残存 濃度 相対量	任仔举 相対量
la	純チタン	なし	なし	α	0.004	<検出限界	1	100	100
1b	スピンコート村	_	_	_	_	_	60	45	32
24 25 26 27 28 29 30 31 32 33 34 35	Ti-0.5Ru Ti- 5Ru Ti- 5Rh Ti- 5Rh Ti- 5Pd Ti-0.5Re Ti-0.5Re Ti- 30s Ti- 30s Ti-0.5Pt Ti-0.5Pt	7 0 7 0 7 0 7 0 7 0 7 0 7 0 7 0 7 0 7 0	35500000 355500000000000000000000000000	а аа аа аа а+ в аа а+ <b>м</b> ,	0.16 0.14 0.18 0.18 0.15 0.19 0.24 0.23 0.17 0.17 0.13	153495547863 	67 555 69 69 64 537 558 51	355938391380 655665454480	535 448 493 552 669 492 57
36 37 38 39 40 41	Ti-0.5Cu Ti- 5Cu Ti- 5Cu Ti-0.5Ag Ti- 5Ag Ti-0.5Au Ti- 5Au	7 0 7 0 7 0 7 0 7 0 7 0	350 350 350 350 350 350	a + M <sub>2</sub> a + M <sub>2</sub> a + M <sub>3</sub> a + M <sub>4</sub> a + M <sub>4</sub>	0.33 0.38 0.24 0.25 0.17 0.15	5. 6 5. 9 4. 7 8. 0 7. 5	64 69 70 69 54 58	46 44 43 41 53 53	36 29 38 26 58 59

Ma: TisM型金属簡化合物、Ma: TisM型金属簡化合物 Ma: TisM型金属間化合物、Ma: TisM型金属間化合物

きる。

①酸化物層中にアナターゼ型酸化チタンが存在しないも の(No. 2~8, 10, 12)では、有効な光触媒活 性を認めることができない。

②チタン基合金基材がα相とβ相の混合組織からなるも のでは、適正な陽極酸化と加熱酸化の組み合わせによっ て、アナターゼ型酸化チタンを含む光触媒活性の高い酸 化物層を形成することができる。

【0050】30チタン基合金基材がα相からなるもので あっても、合金元素として、5A族元素、6A族元素、

【0049】表9、10より次の様に考察することがで 40 7 A族元素、鉄族元素、白金族元素、1 B族元素および 4 B族元素よりなる群から選択される少なくとも1種の 元素を含有するものでは、適正な陽極酸化と加熱酸化の 組み合わせによって、アナターゼ型酸化チタンを含む光 触媒活性の高い酸化物層を形成することができる。

【0051】④チタン基合金基材が、チタンとの金属間 化合物を形成する元素の少なくとも1種を含有するもの では、適正な陽極酸化と加熱酸化の組み合わせによっ て、アナターゼ型酸化チタンを含む光触媒活性の高い酸 化物層を形成するととができる。また、金属間化合物の 50 中でも、アナターゼ型酸化チタン生成率が最も高く優れ

た光触媒活性が得られるのは、Ti、M型金属間化合物 を含むチタン基合金と判断される。

【0052】 ⑤チタン基合金基材の表面に形成された酸 化物層の厚さが 0. 1 μ m以上で且つ該酸化物層中に含 まれるアナターゼ型酸化チタンの含有量が1体積%以上 であるものは、いずれも優れた光触媒活性を示してい

# 【0053】実施例4

チタン基合金として0.5<u>重量</u>%のNiを含有するもの したものについて、上記実施例3と同様にして酸化物層 の厚さ、該酸化物層中のアナターゼ型酸化チタン含有率 を測定すると共に、夫々の光触媒活性(ヨウ素生成量、 アルデヒド残存濃度、大腸菌生存率)を調べた。

【0054】結果は表11,12に示す通りであり、次米

\*のことを確認することができる。

◎陽極酸化および加熱酸化の一方のみでは、酸化物層中 に有効量のアナタゼ型酸化チタンを生成させることがで きず、良好な光触媒活性を得ることができない。

②酸化物層の厚さが 0.1 µm以上であり、該酸化物層 中に含まれるアナターゼ型酸化チタンの含有量が1体積 %以上であるものは、いずれも優れた光触媒活性を示 す。

③Ti-0.5%Ni合金の場合、その様な好ましいア を選択し、酸化処理条件を種々変更して酸化物層を形成 10 ナターゼ型酸化チタン含有量と厚さの酸化物層は、陽極 酸化を50~150Vの電位で行ない、次いで、酸化性 雰囲気中300~800℃の温度で加熱処理することに よって容易に得ることができる。

[0055]

【表11】

-1410			, LL , L -	77. 90		CIII			
No.	合金組成	酸化如		組織	酸化物層	アナターゼ型 酸 化 チ タ ン	ヨウ素 生成量	アルデヒ ド残存	大陽朗生存率
		陽極酸化 電位:V	大気酸化 温度: で		厚さ (μm)	含有率 (体積%)	相対量	濃度 相 対 量	相対量
la	純チタン	なし・	なし	α	0.004	<検出限界	1	100	100
16	スヒンコート材	-	-	-	-	-	60	45	32
42 43 44 45	Ti-0.5Ni Ti-0.5Ni Ti-0.5Ni Ti-0.5Ni	10 20 50 70	ななな	α + M <sub>2</sub> α + M <sub>3</sub> α + M <sub>2</sub>	0.021 0.030 0.19	<検出限界 <検出限界 <検出限界	0 5 5	100 100 96	100 88 94
46 47 48 49	Ti-0.5Ni Ti-0.5Ni Ti-0.5Ni Ti-0.5Ni	110 150 200 300	ななななななな	α + Ν: α + Ν: α + Ν: α + Ν: α + Ν:	0.25 0.29 0.33 0.41 0.55	 < 快快出限界界 < < < < < < < < < < < < < < < < < < <	7 8 4	89 94 93 97	97 94 93 89 96
50 51 52 53 54 55 56	Ti-0.5Ni Ti-0.5Ni Ti-0.5Ni Ti-0.5Ni Ti-0.5Ni Ti-0.5Ni Ti-0.5Ni	ななななななななななななななななななななななななななななななななななななななな	100 200 300 600 700 800	a + K <sub>2</sub> a + K <sub>2</sub> a + K <sub>3</sub> a + K <sub>4</sub> a + K <sub>5</sub> a + K <sub>7</sub> a + K <sub>8</sub>	0.007 0.009 0.012 0.031 0.15 0.22	は、保証を表現である。 は、保証を表えを、 は、と、と、と、と、と、と、と、と、と、と、と、と、と、と、と、と、と、と、と	0 5 5 8 8	100 100 96 98 94 96 96	97 100 98 99 89 89 94
57 58 59 60 61 62 63	Ti-D. SNI -Ti-O. SNI -Ti-O. SNI -Ti-O. SNI -Ti-O. SNI -Ti-O. SNI -Ti-O. SNI	30 30 30 30 30 30 30	100 200 300 500 700 800 1000	a + N: a + N: a + N: a + N: a + N: a + N: a + N:	0.044 0.041 0.095 0.18 0.29 0.65	<検出限界 <検出限界 0.39 0.51 0.56 0.45	3 9 11 9 8 5	100 93 90 92 90 94 93	98 95 94 94 92 93
64 65 66 67 68 69 70	Ti-0.5Ni Ti-0.5Ni Ti-0.5Ni Ti-0.5Ni Ti-0.5Ni Ti-0.5Ni Ti-0.5Ni	50 50 50 50 50 50	100 200 300 500 700 800 1000	a + Ms a + Ms a + Ms a + Ms a + Ms a + Ms	0.13 0.15 0.23 0.39 0.41 0.61	<快出限界 1.9 3.3 4.5 5.8 3.1 0.45	12 16 35 39 38 39	69 79 68 55 58 54 71	81 88 61 63 49 64

Na: TiaM型金属間化合物

[0056]

【表12】

符開平8-246 26

_									
Fa.	合金組成	酸化処理		+G +m	50 (), 14. 53	アナターゼ型	ヨウ素	アルデヒ	大腸菌
1 ***	C 112 411 415	陽極酸化	大気酸化	組織	酸化物層  厚さ	酸化チタン	生成量	ド残存	生存率
l i		電位:V	温度:℃			含有率	157.41.00	濃度	
			血ほこし		(µm)	(体徴%)	相対量	相対量	相対量
71	Ti-0.5Ni	100	100	a + M <sub>2</sub>	0.14	0.90	9	80	92
7Z	Ti-O.5Ni	100	200	a + N2	0.19	3.5	19	88	73
73	Ti-0.5Ni	100	300	a + M2	0.35	7.7	29	58	34
74	Ti-0.5Ni	100	500	a + M2	0.94	18.4	55	47	39
75	Ti-0.5Ni	100	700	a + Na	1.5	12.6	87	33	32
76	Ti-0.5Ni	100	800	a + Mz	2.3	5.8	67	39	52
77	Ti-0.5Ni	100	1000	a + M.	3.5	0.81	69	69	77
78	Ti-0.5Ni	150	100	a + M2	0.35	0.54	13	85	88
79	Ti-0.5Ni	150	200	$\alpha + M_z$	0.40	5.3	21	73	63
80	Ti-0.5Ni	150	300	a + H2	0.85	11.4	45	48	24
81	Ti-0.5Ni	150	500	a + M <sub>2</sub>	2.1	23.9	87	44	21
82	7i-0.5Ni	150	700	a + M2	2.3	18.3	69	23	24
83	Ti-0.5Ni	150	800	$\alpha + M_2$	3.1	9.4	74	32	42
84	Ti-0.5Ni	150	1000	a + Me	3.4	1.3	34	59	74
85	Ti-O.5Ni	200	100	a + M <sub>2</sub>	0.36	0.75	7	94	87
86	Ti-0.5Ni	200	200	a + M2	0.39	0.99	14	75	89
87	Ti-0.5Ni	200	300	a + M.	0.85	0.88	19	79	88
88	Ti-0.5Ni	200	500	$\alpha + M_z$	0.93	0.35	15	80	79
89	Ti-O.5Ni	200	700	a + M2	1.9	0.21	9	79	97
90	Ti-0.5Ni	200	800	a + M2	2.3	<検出限界	10	87	94
91	Ti-0.5Ni	200	1000	a + 16.	3.5	<検出限界	3	89	92
92	Ti-D.5Ni	300	100	a + M.	0.43	0.75	3	95	87
93	Ti-0.5Ni	300	200	a + M,	0.59	0.88	11	94	97
94	T1-0.5N1	300	300	α + M <sub>2</sub>	1.21	0.50	9	89	93
95	Ti-0.5Ni	300	500	α + M <sub>z</sub>	2.56	0.33	3	88	90
96	T1-0.5N1	300	700	a + M:	3.3	<検出限界	2	93	94
97	Ti-0.5Ni	300	800	a + Ma	3.8	<検出限界	3	96	98
98	Ti-0.5Ni	300	1000	a + M.	4.5	<検出限界	7	95	95
					•	•		<u> </u>	L

He: TieM型金属間化合物

### [0057]

【発明の効果】本発明は以上の様に構成されており、チタンまたはチタン基合金基材の表面にアナターゼ型酸化チダンを含有する酸化物層を形成することによって、優れた光触媒活性を与えることができ、脱臭、防黴、防汚性、殺菌作用等を備えた酸化処理チタン又はチタン基合\*

千葉県印旛郡印西町大塚1-5 株式会社

竹中工務店技術研究所内

\* 金材を提供することができ、該酸化物層は基材との密着性においても非常に優れたものであって、取扱い過程での皮膜の剥離・損傷抵抗も大きいので、防黴、防汚などの効果を有する建築材、空調機器、浄水設備等に用いられる各種部材として有効に活用することができる。

兵庫県神戸市西区髙塚台1丁目5番5号

株式会社神戸製鋼所神戸総合技術研究所内

# フロントページの続き

(51)Int.Cl. <sup>5</sup> 識別記号	庁内整理番号	FΙ	技術表示箇所
B O 1 J 23/89		B O 1 D 53/36	ZABJ
C 0 2 F 1/30		B 0 1 J 23/74	3 2 1 A
(72)発明者 小川 孝寿 千葉県印旛郡印西町大塚 l	- 5 株式会社	(72)発明者 杉崎 康昭 兵庫県神戸市	<b>5西区高塚台 1 丁目 5 番 5 号</b>
竹中工務店技術研究所內		株式会社神戸	可製鋼所神戸総合技術研究所内
(72)発明者 斉藤 俊夫		(72)発明者 伊藤 喜昌	